

4 Solução Fundamental na Elasticidade Gradiente

4.1. Introdução

Na formulação do método de elementos de contorno, Polyzos et al [13]-[14], apresenta-se um desenvolvimento detalhado da determinação da solução fundamental na elasticidade gradiente. Conforme apresentado na expressão (4-1), a solução fundamental manifesta o efeito escala através da relação do comprimento do raio e a constante g (r/g), os quais são argumentos das funções Bessel modificada para o caso 2D e a função exponencial no caso 3D; eles são somados a termos hiper-singulares de ordem $O(1/r^2)$ para o caso 2D e $O(1/r^3)$ para o caso 3D. Quando $r/g \rightarrow 0$ a solução fundamental tende ao caso clássico.

A equação fundamental vem da equação diferencial de quarta ordem apresentada na formulação simplificada de Mindlin:

$$\mu u_{i,kk}^* + (\lambda + \mu) u_{j,ji}^* - g^2 [\mu u_{i,jjkk}^* + (\lambda + \mu) u_{j,jikk}^*] = 0 \quad (4-1)$$

4.2. Solução da Equação Diferencial

Polyzos et al [13] começa a apresentação da solução da equação diferencial utilizando a decomposição de Hemholtz em uma parte irrotacional e outra solenoidal. A solução fundamental obtida finalmente é a seguinte:

$$u_{im}^* = \frac{1}{16\pi\mu(1-\nu)} [Y(r, \nu, g) \delta_{im} - X(r, g) r_{,i} r_{,m}] \quad (4-2)$$

onde:

ν : módulo de Poisson,

g : constante da energia de deformação volumétrica

$\bar{r} = \bar{x} - \bar{y} = \begin{cases} [r_1, r_2] & \text{para 2D} \\ [r_1, r_2, r_3] & \text{para 3D} \end{cases}$, é vetor geométrico ilustrado na Figura 5.

Na Figura 5 são também ilustrados os vetores normais $\hat{\mathbf{n}}_x, \hat{\mathbf{n}}_y$.

O módulo do vetor \mathbf{r} , o vetor unitário na direção \mathbf{r} e a derivada parcial do módulo do raio são obtidos pelas seguintes expressões:

$$r^2 = r_i r_i; \quad \hat{\mathbf{r}} = \frac{\bar{\mathbf{r}}}{r}; \quad r_{,j} = \frac{r_j}{r} \quad (4-3)$$

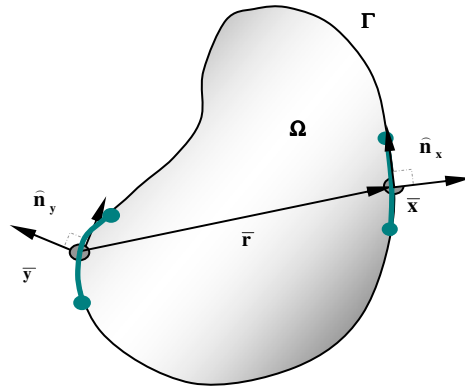


Figura 27. - Grandezas vetoriais utilizadas para a integração do Método de Elementos de Contorno.

As funções X e Y apresentadas na expressão (4-2) são descritas como:

$$X = \begin{cases} -2 + \frac{8g^2}{r^2} - 4K_2\left(\frac{r}{g}\right) & 2D \\ -\frac{1}{r} + \frac{6g^2}{r^3} - \left(\frac{6g^2}{r^3} + \frac{6g}{r^2} + \frac{2}{r}\right)e^{-r/g} & 3D \end{cases} \quad (4-4)$$

$$Y = \begin{cases} -2(3-4\nu)\ln r + \frac{4g^2}{r^2} - 2(3-4\nu)K_0\left(\frac{r}{g}\right) - 2K_2\left(\frac{r}{g}\right) & \text{para } 2D \\ (3-4\nu)\frac{1}{r} + 2(1-2\nu)\left[-\frac{g^2}{r^3} + \left(\frac{g^2}{r^3} + \frac{g}{r^2}\right)e^{-r/g}\right] + & \\ 4(1-\nu)\left[\frac{g^2}{r^3} - \left(\frac{g^2}{r^3} + \frac{g}{r^2} + \frac{1}{r}\right)e^{-r/g}\right] & \text{para } 3D \end{cases} \quad (4-5)$$

onde K_0 e K_2 são as funções de Bessel modificadas de segundo tipo e das ordens 0 e 2 respectivamente.

Quando o coeficiente gradiente g tende a zero, pode-se comprovar facilmente que:

$$X = \begin{cases} -\frac{2}{r} & 2D \\ -\frac{1}{r} & 3D \end{cases} \quad Y = \begin{cases} -2(3-4\nu)\ln r & 2D \\ -2(3-4\nu)\ln r & 3D \end{cases} \quad (4-6)$$

essas expressões representam a solução fundamental clássica estática.

Se essas grandezas são utilizadas na forma de series expandidas em 2D, tem-se:

$$X = \left(\frac{r^2}{2g^2} + O(r^4) \right) \ln(r) + \left(\frac{4\ln(1/2g) + 4\gamma + 3}{8g^2} \right) r^2 + O(r^4) \quad (4-7)$$

$$Y = \left(\frac{(8\nu-7)r^2}{4g^2} + O(r^4) \right) \ln(r) + (1 - 6\ln(2g) - \gamma) + 8\nu(\ln(2g) - \gamma) - \left(\frac{28(\ln(2g) - \gamma)}{16g^2} \right) r^2 + O(r^4) \quad (4-8)$$

Pode-se verificar que ambas as expressões são regulares em relação a r , e que a singularidade do caso clássico vai embora quando $r \rightarrow 0$ e é possível fazer o cálculo do deslocamento para $r=0$, conforme é mostrada na expressão abaixo:

$$u_{im}^* \Big|_{r=0} = \frac{1 + 2(4\nu-3)(\ln(2g) - \gamma)}{16\pi(1-\nu)\mu} \delta_{im} \quad (4-9)$$

onde γ é a constante de Euler.

Analogamente, no caso 3D depois de transformar a X e Y séries, tem-se que o deslocamento da solução fundamental para $r=0$ é:

$$u_{im}^* \Big|_{r=0} = \frac{6\nu-5}{24\pi(1-\nu)\mu g} \delta_{im} \quad (4-10)$$

4.3. Comparação das Forças de Superfície Clássicas e Não-clássicas

Caso se aplique uma carga unitária no ponto de origem e se integre o campo de forças de superfície ao redor de um contorno circular Γ , conforme ilustrado na Figura 6, utilizando as expressões (4-10) e (4-11), verifica-se que a integral de forças, aparentemente, não fica equilibrada com a força unitária aplicada. Se, por

outro lado, fizesse-se o mesmo como a tensão total $\sigma_{jim}n_j$, então é possível a obtenção do equilíbrio. Esse é um aspecto interessante da elasticidade gradiente.

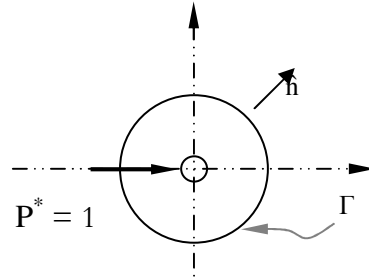


Figura 28. - Integração da força de superfície no contorno circular Γ

Na equação seguinte é mostrada essa diferença:

$$\int_{\Gamma} \sigma_{jim}n_j d\Gamma = -\delta_{im} \neq \int_{\Gamma} \tilde{P}_{im}^* d\Gamma = -[1 + (2r-1)K_0(r/g) + \frac{2gK_1(r/g)}{r} + \frac{2g^2}{r^2}] \delta_{im} \quad (4-11)$$

onde:

$$\tilde{P}_{im}^* = \underbrace{n_j \tilde{\tau}_{jim} - \tilde{\mu}_{kjim,k} n_j}_{\sigma_{jim}n_j} - \tilde{\mu}_{kjim,l} n_j n_k n_l - \tilde{\mu}_{kjim,j} n_k + (D_p n_p) \tilde{\mu}_{kjim} n_j n_k + (D_j n_k) \tilde{\mu}_{kjim} \quad (4-12)$$

K_0 e K_1 são as funções de Bessel modificadas.

O caso onde $g \rightarrow 0$ é similar a considerar $r \rightarrow \infty$ e a integração da força de superfície tende ao caso clássico, ou seja, ao delta de Kronecker δ_{im} .

4.4. Comportamento da Solução Fundamental

Como parte do estudo de uma nova teoria de elasticidade não clássica nesta seção apresenta-se o efeito escala de g : o único parâmetro constitutivo adicional à teoria clássica. O objetivo desse item é apresentar as semelhanças entre a teoria clássica e não clássica e em qual direção elas se afastam.

Com esse objetivo foi esboçado o comportamento de parâmetros comumente usados como os deslocamentos u_x , u_y , e as deformações ϵ_{xx} , ϵ_{yy} , ϵ_{xy} nos eixos de avaliação paralelos aos eixos principais x e y . A força singular utilizada é aplicada na origem e na direção x .

Na Figura 29 é ilustrada a sensibilidade da solução fundamental da elasticidade gradiente e a convergência dela à solução clássica quando $g \rightarrow 0$, para

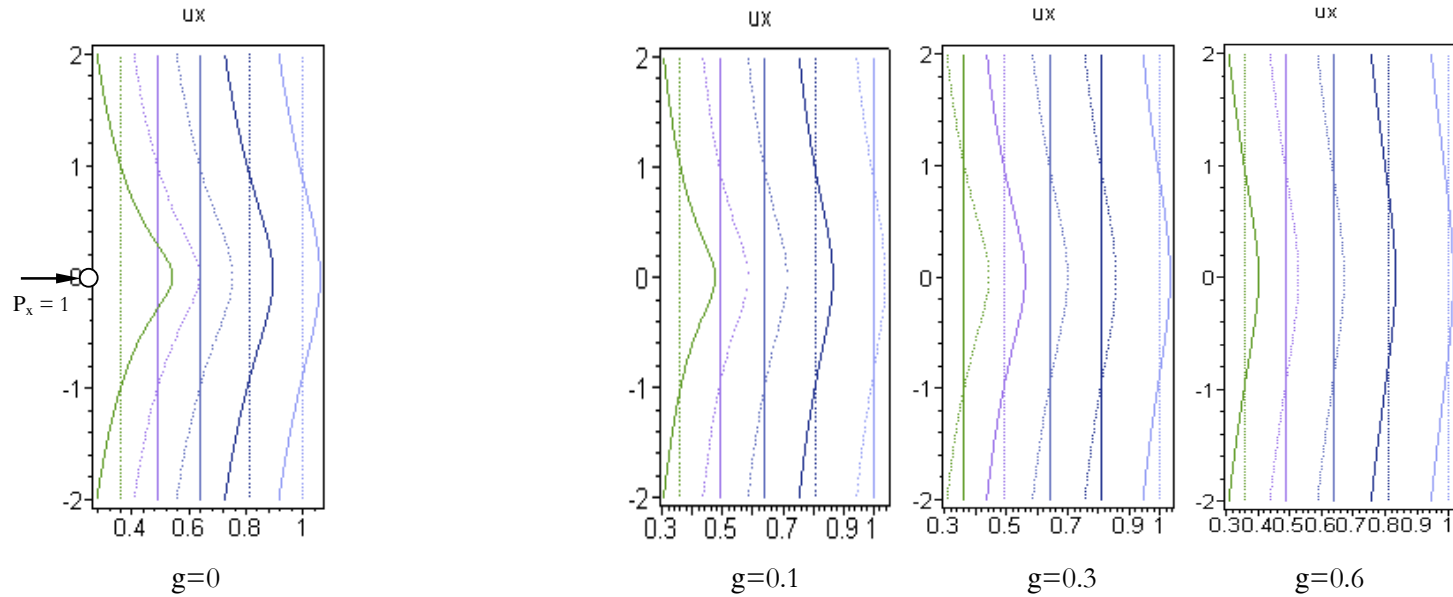
uma carga unitária e paralela ao eixo x . A constante g gera uma redução dos deslocamentos paralelos ao carregamento quando ela aumenta.

Na Figura 30 são ilustrados os deslocamentos transversais à carga unitária e como estes são afetados pelo valor de g fazendo dele menos oscilante e mais uniforme.

Na Figura 31 é ilustrado o comportamento das deformações paralelas e transversais à carga unitária. Pode-se também verificar que a distribuição delas é se mais uniforme e menos oscilante quando g aumenta.

DESLOCAMENTOS SOLUÇÃO FUNDAMENTAL 2D PARA $P_x=1$

u_x eixos $x = \{0.36, 0.49, 0.64, 0.81, 1\}$, intervalo de $y = [-2,2]$



Clássico

Elasticidade Gradiente

Figura 29.- Comportamento da Solução Fundamental: Deslocamento na direção da Carga

CAMPO DESLOCAMENTOS SOLUÇÃO FUNDAMENTAL 2D

u_y , eixos $y = \{0.36, 0.49, 0.64, 0.81, 1\}$, rango de $x = [-2,2]$

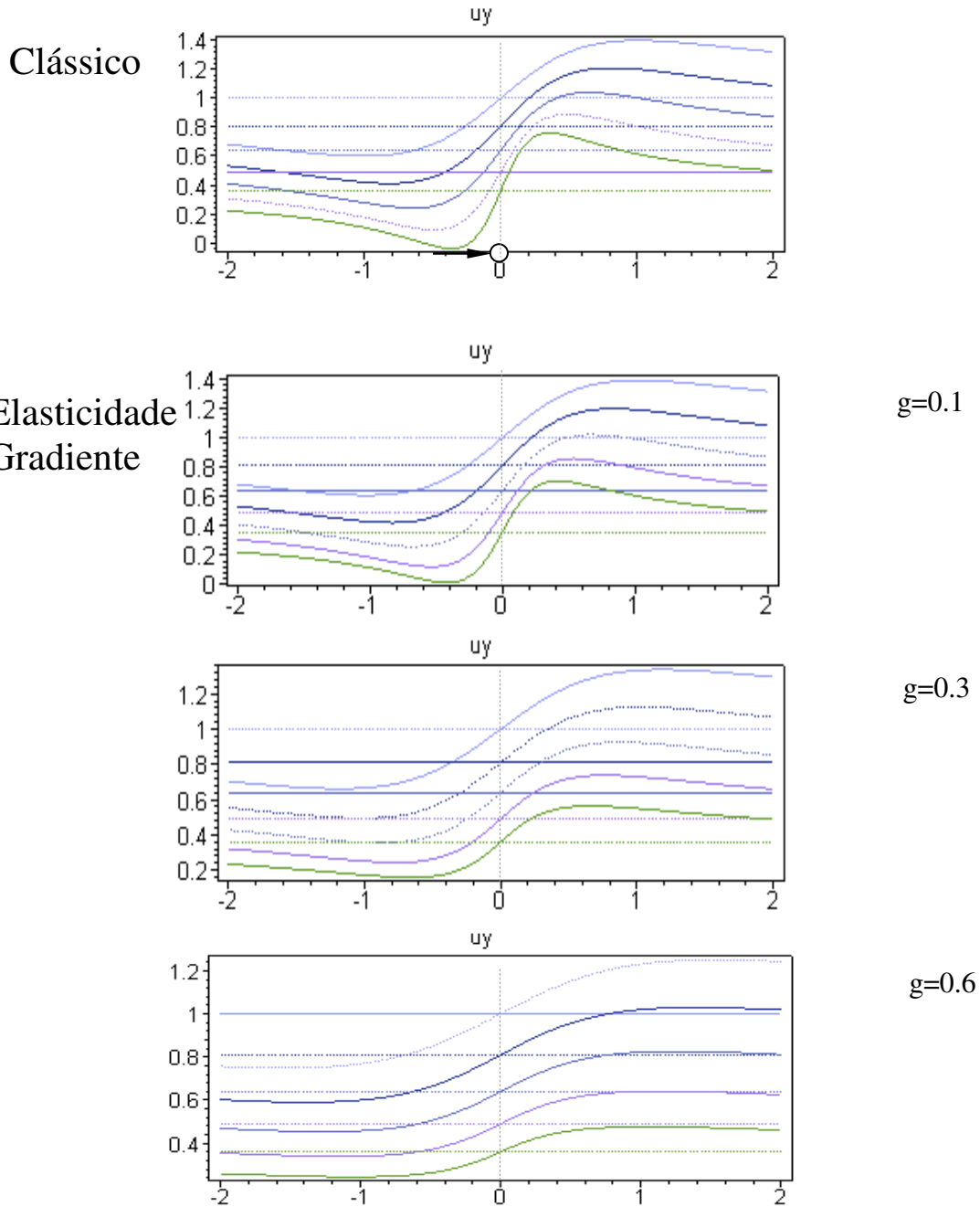


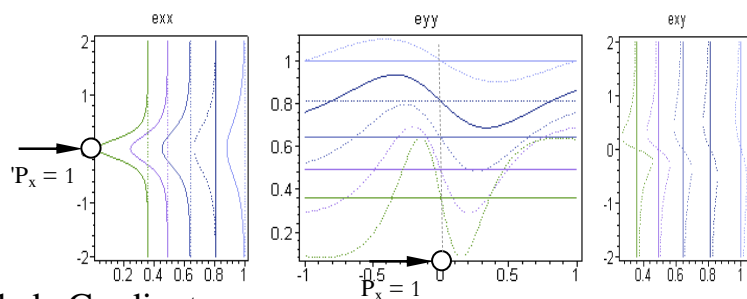
Figura 30.- Comportamento da Solução Fundamental: Deslocamento Perpendicular á Carga

DEFORMAÇÕES SOLUÇÃO FUNDAMENTAL 2D

ε_{xx} eixo x = {0.36, 0.49, 0.64, 0.81, 1}, rango de y = [-2,2]

ε_{yy} eixo y = {0.36, 0.49, 0.64, 0.81, 1}, rango de x = [-2,2]

Clássico



Elasticidade Gradiente

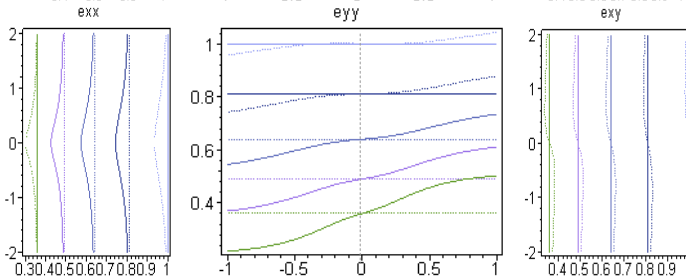
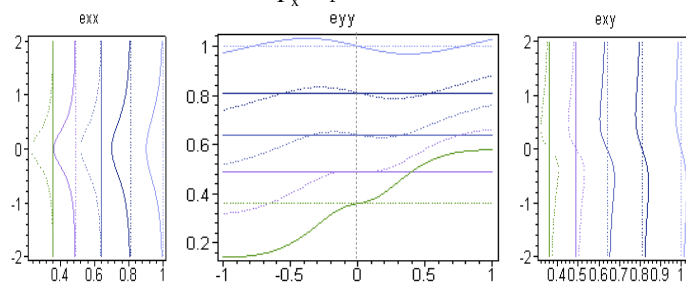
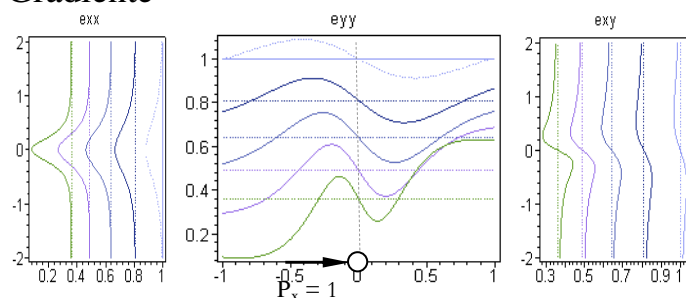


Figura 31.- Comportamento da Solução Fundamental: Deformações